



## مدیریت آب و آبادانی

دوره ۱۲ ■ شماره ۲ ■ تابستان ۱۴۰۱

صفحه‌های ۳۵۹-۳۷۳

DOI: 10.22059/jwim.2022.339537.972

مقاله پژوهشی:

### بررسی عملکرد شبکه‌های عصبی گازی در خوشبندی هیدرولوژیک

محمد رضا محمودی<sup>۱</sup>، سید سعید اسلامیان<sup>۲\*</sup>، سید علیرضا گوهری<sup>۳</sup>، معین طحانیان<sup>۴</sup>

۱. کارشناسی ارشد، گروه مهندسی آب، دانشکده کشاورزی، دانشگاه صنعتی اصفهان، اصفهان، ایران.

۲. استاد، گروه مهندسی آب، دانشکده کشاورزی، دانشگاه صنعتی اصفهان، اصفهان، ایران.

۳. استادیار، گروه مهندسی آب، دانشکده کشاورزی، دانشگاه صنعتی اصفهان، اصفهان، ایران.

۴. کارشناسی ارشد، گروه مهندسی آب، دانشکده کشاورزی، دانشگاه صنعتی اصفهان، اصفهان، ایران.

تاریخ دریافت مقاله: ۱۴۰۰/۰۴/۱۰  
تاریخ پذیرش مقاله: ۱۴۰۰/۱۲/۷

#### چکیده

طراحی بسیاری از زیرساخت‌ها و پروژه‌های عمرانی نیازمند مطالعات گستره‌های در زمینه شرایط جغرافیایی منطقه و ویژگی‌های اقلیمی آن ناحیه می‌باشد. کارایی این پژوهش‌ها خود وابسته به اطلاعات و داده‌های مورد نیاز است. در بسیاری از مواقع منطقه طرح در موقعیتی قرار دارد که هیچ‌گونه اطلاعات اقلیمی مانند بارش موجود نیست. از این‌رو، تحلیل فراوانی منطقه‌ای بسیار موردنظر قرار گرفته است. در این شیوه با شرایط و ابزار خاصی اطلاعات موجود در نواحی دیگر قابل بسط و انتقال به سایر نواحی می‌شود. در این مسیر خوشبندی یکی از تأثیرگذارترین مرحله‌ی می‌باشد که منطقه و ایستگاه‌های موجود را به مناطق همگن هیدرولوژیک تقسیم می‌نماید. از این‌رو، در این پژوهش علاوه بر روش‌های رایج در خوشبندی از دو مدل جدید شبکه عصبی گازی و شبکه عصبی گازی رشدیابنده به‌منظور تعیین مناطق همگن در سطح استان خوزستان استفاده شد. یکی از ویژگی‌های منحصر به‌فرد این الگوریتم‌ها یادگیری تپولوژی یا شکل توزیع حاکم بر فضای داده‌ها می‌باشد. با استفاده از متغیرهای طول جغرافیایی، عرض جغرافیایی، ارتفاع، متوسط بارش سالانه و حداقل بارش ۲۴ ساعته سالانه ایستگاه، منطقه طرح به دو ناحیه همگن تقسیم و فرایند خوشبندی انجام پذیرفت. نتایج نشان‌دهنده کارایی و دقیق‌بودای شبکه‌های عصبی گازی در مبحث خوشبندی می‌باشد. متوسط میزان خطأ و همچنین ضریب تغییرات خطأ در این مدل به ترتیب ۱۵/۵۶ و ۲۶/۳۹ درصد برآورد شد که نسبت به روش‌های معمول برتری قابل توجهی از خود نشان داد.

**کلیدواژه‌ها:** تحلیل فراوانی منطقه‌ای، خوزستان، همگنی هیدرولوژیک، یادگیری تپولوژی.

### Investigation of the performance of neural gas networks in hydrological clustering

Mohammadreza Mahmoudi<sup>1</sup>, Saeid Eslamian<sup>2\*</sup>, Alireza Gohari<sup>3</sup>, moein tahanian

1. M.Sc., Department of Water Engineering, College of Agriculture, Isfahan University of Technology, Isfahan, Iran.

2. Professor, Department of Water Engineering, College of Agriculture, Isfahan University of Technology, Isfahan, Iran.

3. Assistant Professor, Department of Water Engineering, College of Agriculture, Isfahan University of Technology, Isfahan, Iran.

4. M.Sc., Department of Water Engineering, College of Agriculture, Isfahan University of Technology, Isfahan, Iran.

Received: February 22, 2022

Accepted: July 01, 2022

#### Abstract

The design of many infrastructures and construction projects requires the extensive studies in the area's geographical conditions and climatic characteristics. The effectiveness of this research itself depends on the information and data required. In many cases, the project area is in a situation where no climatic information such as rainfall is available. Hence, regional frequency analysis has been received much attention. In this way, having specific conditions and mechanisms, the available information in other sites can be expanded and transferred to the other areas. In this research, clustering is one of the most effective steps that divide the existing stations into the hydrologically homogeneous areas. Therefore, in this study, in addition to the common methods in clustering, two new models, neural gas network and growing neural gas network, were used to determine the homogeneous regions in Khuzestan province, Iran. One of the unique features of these algorithms is learning the topology or shape of the distributions that governs the data space. Using the variables of longitude, latitude, altitude, mean annual rainfall, and maximum 24-hour rainfall of the station, the design area was divided into two hydrologically homogeneous areas, and the clustering process was performed. The results show that the neural gas networks has a high efficiency and accuracy in view of clustering. The Mean Percentage Difference and Coefficient of Variation of Root Mean Square Error in neural gas were estimated to be 15.56 and 24.39 percent, respectively, which showed a considerable advantages over the conventional methods.

**Keywords:** Clustering, Hydrological homogeneity, Khuzestan, Regional Frequency Analysis, Topology learning.

## مقدمه

و همچنین عدم سهولت دسترسی ممکن است تراکم ایستگاه‌های باران‌سنگی کمتر از میزان استاندارد باشد. در این وضعیت شبیه‌سازی بارش در نقاط فاقد ایستگاه اهمیت ویژه‌ای در مطالعات مربوط به منابع آب برخوردار است. بهمنظور برطرف نمودن این مشکل تحلیل منطقه‌ای پارامترهای هیدرولوژیک پیشنهاد شده است.

تحلیل منطقه‌ای بهجای استفاده از داده‌های یک ایستگاه از آمار و ویژگی‌های گروهی از ایستگاه‌های هم‌رفتار استفاده می‌کند. پژوهش‌های مختلف با استفاده از روش‌های منطقه‌ای بر روی بارش‌های حدی حاکی از آن است که این تکنیک‌ها تردیدها را در زمینه برآوردهای ناشی از دیدگاه ایستگاهی به‌طور فزاینده‌ای کاهش می‌دهند (Lee & Maeng, 2003).

در پژوهشی Durrans & Kirby (2004) تابع توزیع GEV<sup>۱</sup> را بهمنظور الگوبندی بارش‌های حدی روزانه و ساعتی انتخاب کردند. بدین منظور با تحلیل خوش‌های و تخمین‌های بارش حدی اقدام به منطقه‌ای کردن این بارش‌ها برای اطلس باران آلاما کردند و روش منطقه‌ای کردن را برای گسترش نتایج در مناطق فاقد ایستگاه مناسب ارزیابی کردند.

در پژوهشی دیگر Soltani *et al.* (2017) با استفاده از خصوصیات مقیاس زمانی بارش و با استفاده از سه متغیر میانگین شدت بارش روزانه، انحراف معیار شدت بارش روزانه و نمایه مقیاس، منحنی‌های IDF منطقه‌ای را برای استان خوزستان ترسیم و میزان خطای مطلق این روش را به‌طور عملده زیر ۲۵ درصد و نتایج را قابل قبول اعلام کردند.

همچنین Ariff *et al.* (2016) با استفاده از گشتاورهای خطی و منطقه‌ای نمودن توزیع مقدار حدی، IDF‌های منطقه‌ای را برای ناحیه پنین‌سولار مالزی استخراج و کاربرد این روش را با توجه به‌سادگی و کارایی آن در مناطق فاقد ایستگاه مناسب ارزیابی نمودند.

مطالعات هیدرولوژی دارای اهمیت فراوانی در بسیاری از طرح‌ها همچون سدسازی و راه‌سازی می‌باشد. در اکثر موارد این مطالعات به‌وسیله مدل‌های هیدرولوژیک انجام می‌شود که به داده‌های اقلیمی با دقت مکانی و زمانی مناسب نیاز دارند. از مهم‌ترین این داده‌ها می‌توان به بارندگی اشاره کرد که در صورت وجود محدودیت‌هایی مثل پراکندگی نامناسب ایستگاه‌ها و طول دوره آماری کوتاه و همچنین نداشتن دقت مکانی لازم، موجب ایجاد خطای تخمین در محاسبات و عملکرد مدل‌ها می‌شود (Chaubey *et al.*, 1999; Goovaerts, 1999)؛ لذا لازم است که داده‌های بارش با دقت مکانی و زمانی مناسب جهت استفاده در این مدل‌ها تهیه شود.

بارندگی یکی از مهم‌ترین پارامترهای چرخه هیدرولوژی است که در اثر آن رخدادهایی همچون سیلاب، آلودگی آب‌های سطحی و زیرزمینی، فرسایش و رسوب‌گذاری به وقوع می‌پیوندد. بارش از بیش‌ترین تغییرات زمانی و مکانی برخوردار بوده و کمی کردن آن در بعد مکان و زمان مورد توجه پژوهش‌گران مختلف بوده است. در بسیاری از موارد داده‌ها و همچنین پراکندگی مکانی ایستگاه‌ها ناکافی بوده و برای تحلیل‌های مختلف نامناسب است. به علاوه، تخمین درست توزیع منطقه‌ای بارش به شبکه بسیار مترافق‌تری از تجهیزات نیازمند است که هزینه بسیار زیادی در پی خواهد داشت. در مواردی که ایستگاه موردنظر خارج از منطقه مطالعه طرح دارد مشکلات زیادی برای تخمین بارندگی و در نتیجه دبی ایجاد می‌کند (Lee & Maeng, 2003).

در سطح جهانی برای اندازه‌گیری داده‌های بارندگی از ایستگاه‌های هواشناسی به‌طور عمده شامل ایستگاه‌های سینوپتیک، کلیماتولوژی و باران‌سنگی استفاده می‌شود. در برخی کشورها به دلایل مختلفی از جمله کمبود منابع مالی

## مدیریت آب و آسیاری

تشخیص مناطق همگن معمولاً در بین تمامی مراحل تحلیل فراوانی منطقه‌ای مهم‌ترین و سخت‌ترین گام و پیش‌نیاز فرضیه تحلیل فراوانی می‌باشد. در این مرحله ایستگاه‌هایی که به‌جز عامل مقیاس در نوع تابع توزیع مشترک باشند گروه‌بندی می‌شوند.

در این پژوهش ما روشی مبتنی بر شبکه‌های عصبی گازی<sup>۲</sup> و گازی رشدیابنده<sup>۳</sup> را به‌منظور خوشبندی داده‌های هیدرولوژیک و تعیین مناطق همگن ارائه می‌دهیم. شبکه عصبی گازی یکی از انواع شبکه‌های عصبی رقابتی است و از شیوه آموزش غیرنظرارت‌شده استفاده می‌کند. این شبکه نخستین مرتبه توسط Martinet & Schulten (1991) معرفی شد. یکی از ویژگی‌های منحصر به‌فرد این الگوریتم یادگیری توبولوژی یا شکل توزیع حاکم بر فضای داده‌ها می‌باشد. یکی از مشکلات این الگوریتم این است که در ابتدا با تعداد عناصر زیادی شروع به کار می‌کند که باعث می‌شود الگوریتم در ابتدا کند عمل کند. این نقص چهار سال بعد با ارائه شبکه عصبی گازی رشدیابنده توسط Fritzke (1995) برطرف شد. در شبکه عصبی گازی رشدیابنده تعداد نورون‌ها در طی فرایند یادگیری بدون در نظر گرفتن دانش قبلی و ساختار حاکم بر رودی‌ها افزایش پیدا می‌کند (Fink & Weidmann, 2015).

در مطالعه‌ای Abdi *et al.* (2017) توانایی شبکه عصبی گازی رشدیابنده در منطقه‌ای نمودن شاخص خشکسالی برای ۴۰ ایستگاه سینوپتیک در ایران را بررسی و نتایج حاصل از ارزیابی ناهمگونی براساس گشتاورهای خطی نشان‌دهنده موفقیت این الگوریتم نسبت به روش‌های دیگر در تعیین زیر مناطق همگن بود. استفاده از شبکه‌های عصبی گازی در خوشبندی در رشته‌های دیگر علمی مانند رباتیک (Carlevarino *et al.*, 2014; Angelopoulou *et al.*, 2000; Ferrer, 2014)، پزشکی (Cselényi, 2005; Oliveira Martins, 2009 و

Ntayig pژوهش‌های Alemaw & Chaoka (2016) که با استفاده از ویژگی‌های توبولوژیک و بارندگی، بوتسوانا را با مدل خوشبندی K-Means به سه منطقه همگن تقسیم و توابع توزیع احتمال گاما و لوگ نرمال را به‌منظور تخمین عمق بارندگی در دوره‌های بازگشت تا ۱۰۰ سال برای مناطق ذکر شده استفاده نمودند، مناسب ارزیابی شد.

پژوهش‌گران از مدل‌های مختلف خوشبندی استفاده می‌کنند و برای هر یک از این مدل‌ها، الگوریتم‌های مختلفی را می‌توان ارائه داد. مفهوم یک خوشبندی همان‌طورکه توسط الگوریتم‌های مختلف یافت می‌شود به‌طور خاصی در ویژگی‌ها تفاوت دارند. هیچ توافقی میان پژوهش‌گران در مورد برتری‌بودن یک روش خاص وجود ندارد.

خوشبندی را می‌توان براساس سختی تمایز به دو دسته طبقه‌بندی کرد. اول خوشبندی سخت که هر شیء یا متعلق به یک خوشبندی باشد یا خیر. دوم خوشبندی نرم (خوشبندی فازی) که هر شیء یا داده به میزان خاصی متعلق به یک خوشبندی باشد.

با توجه به شکل‌های متنوع مناطق و اثرات ویژگی‌های مربوط به حوزه‌های مختلف که در منطقه‌بندی هیدرولوژیک اجتناب‌ناپذیر است، انتخاب بهترین روش بسیار مهم است (Alemaw & Chaoka, 2016).

یکی از مشکلات عمده بسط نتایج تحلیل فراوانی از یک یا چند ایستگاه به یک منطقه، عدم همگنی منطقه از نظر هیدرولوژیک می‌باشد. با وجود مناسب‌بودن تحلیل‌های خوشبندی برای گروه‌بندی ویژگی‌های هیدرولوژیک، همگن‌بودن مناطق کاملاً حاصل نمی‌شود. به این ترتیب پیشنهاد می‌شود نتایج تحلیل خوشبندی با روش‌های دیگر موردنرسی و آزمون قرار گیرد (Rousseeuw, 1987).

در این پژوهش با استفاده از دو مدل جدید شبکه عصبی گازی و گازی رشدیابنده، استان خوزستان از نظر تعداد مناطق همگن بررسی و سپس نتایج حاصل با استفاده از آزمون‌های مبتنی بر گشتاورهای خطی با روش‌های مرسوم خوشبندی از جمله مدل‌های وارد<sup>۱</sup>، کامیانگین<sup>۲</sup>، شبکع عصبی نقشه خودسازمانده<sup>۳</sup> و مدل فازی سی- میانگین<sup>۴</sup> مقایسه شدند. سپس بهمنظور بررسی بهتر کارایی این دو مدل در تحلیل فراوانی منطقه‌ای، منحنی‌های شدت- مدت- فراوانی منطقه‌ای بارش در این نواحی استخراج شد.

## مواد و روش‌ها

استان خوزستان با مساحتی حدود ۴ درصد از مساحت کل کشور، وسیع‌ترین استان در نیمه غربی کشور است. این استان بین ۴۷ درجه و ۴۱ دقیقه تا ۵۰ درجه و ۳۹ دقیقه طول شرقی و ۲۹ درجه و ۵۸ دقیقه تا ۳۳ درجه و ۴ دقیقه عرض شمالی از خط استوا قرار دارد. خوزستان با حجم ورودی بیش از ۳۳ میلیارد مترمکعب آب در سال و دارابودن ۳ میلیارد مترمکعب آب ذخیره شده در سفره‌های زیرزمینی، از موقعیت ممتازی در کشور برخوردار است. این استان بیش از ۳۰ درصد از آب‌های سطحی کشور را در خود جای داده است. میانگین بارندگی استان طی دوره آماری بلندمدت ۲۸۴/۳ میلی‌متر است. بیش‌ترین میزان بارش سالانه مربوط به ایستگاه اینده با ۶۱۴/۸ میلی‌متر و کم‌ترین میزان بارش سالانه در آبادان با ۱۴۹/۷ میلی‌متر ثبت شده است.

تعداد ۲۱ ایستگاه هواشناسی شامل ۱۷ ایستگاه تبخیرسنگی و چهار ایستگاه باران‌سنگی انتخاب شد. حداقل طول دوره آماری مربوط به ایستگاه پای‌پل با ۱۶ سال و حداقل طول دوره آماری مربوط به ایستگاه‌های اهواز و سد شهدا با ۴۲ سال می‌باشد. میانگین دوره آماری ایستگاه‌های انتخاب شده بیش از ۲۹ سال می‌باشد. موقعیت جغرافیایی ایستگاه‌ها در شکل (۱) نشان داده شده است.

اقتصاد (Decker, 2005; Lisboa, 2000) هم مورد توجه قرار گرفته است، از این‌رو از این الگوریتم می‌توان برای خوشبندی استفاده نمود.

Modarres (2010) پژوهش‌هایی را در مورد حداکثر طول دوره خشک‌سالی در استان اصفهان انجام داد. در این پژوهش برای انتخاب تعداد خوشبندی مناسب از معیار  $R^2$  استفاده و استان اصفهان به دو خوشبندی تقسیم شد. ایستگاه‌های گروه اول در منطقه غرب استان اصفهان و ایستگاه‌های گروه دوم در مناطق شرقی و جنوب‌شرقی استان قرار گرفتند (Reza Modarres, 2010).

Adib *et al.* (2021) شاخص خشک‌سالی جریان رودخانه (SDI) را با استفاده از پارامتر شدت خشک‌سالی هیدرولوژیکی در فواصل زمانی سه، شش، نه و ۱۲ ماهه منطقه‌ای کردند. براساس پارامتر مقیاس زمانی سه ماهه، استان خوزستان در ایران به سه منطقه تقسیم شد، اما برای مقیاس زمانی دیگر، این استان به دو منطقه تقسیم شد (Adib *et al.*, 2021).

Ghadami *et al.* (2020) مطالعاتی را با هدف منطقه‌ای کردن احتمال شاخص شدت خشک‌سالی شدید (SD) در سراسر ایران انجام دادند. در این پژوهش سری زمانی ۱۲ ماهه شاخص بارش استانداردشده (SPI) برای ایستگاه‌های موردمطالعه محاسبه و با اعمال تحلیل خوشبندی (CA) بر روی ایستگاه‌ها، منطقه موردمطالعه به چهار ناحیه طبقه‌بندی شد (Ghadami *et al.*, 2020).

بعد از کاربرد شبکه‌های عصبی گازی و دیگر مدل‌ها برای خوشبندی لازم است مناطق تشکیل شده و ایستگاه‌های موجود در هر ناحیه از نظر همگنی و همنوایی بررسی شوند. بدین منظور از آزمون‌های هاسکینگ و والیس که بر مبنای گشتاورهای خطی هستند و به عنوان بهترین روش در تحلیل‌های منطقه‌ای شناخته شده‌اند استفاده شده است (Masselot *et al.*, 2017).

## بررسی عملکرد شبکه‌های عصبی گازی در خوشبندی هیدرولوژیک

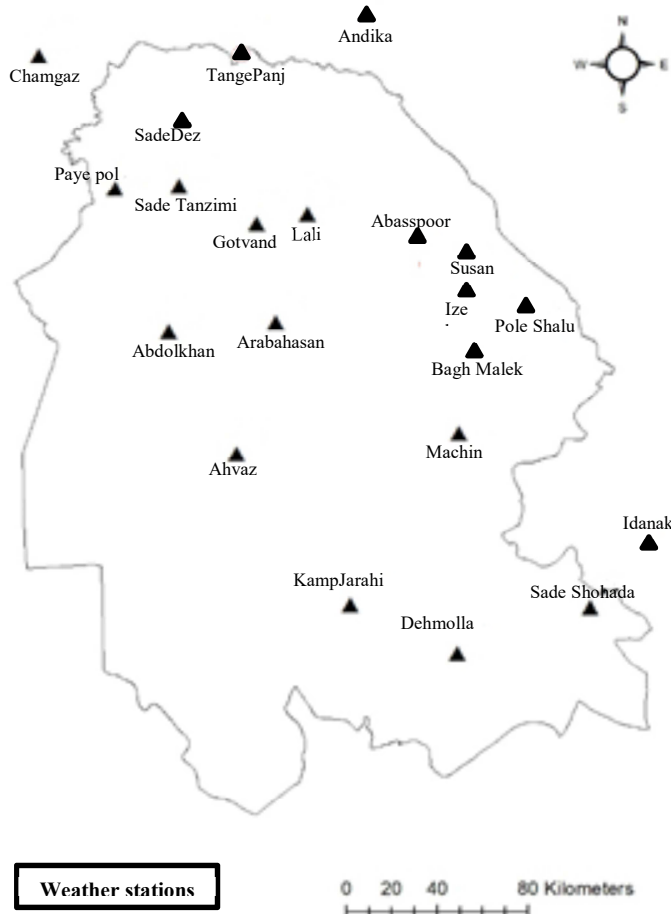


Figure 1. Study area and location of the stations

اولیه و  $Q_{max}$  و  $Q_{min}$  به ترتیب مقادیر حداقل و حداکثر داده‌ها می‌باشند. پیش از به کارگیری مدل‌های خوشبندی لازم است تعداد خوش بینه موجود در منطقه تخمین زده شود. بدین منظور از ساختهای چو و سو (CS) (Chou *et al.*, 2004)، نیمرخ (Rousseeuw, 1987) و کالینسکی هاراباسز (Caliński & Harabasz, 1974) استفاده شد. سپس مناطق همگن احتمالی با استفاده از مدل‌های خوشبندی شامل مدل‌های الگوریتم فازی سی-میانگین، نقشه خودسازنده، حداقل واریانس وارد، کا-میانگین، شبکه عصبی گازی و شبکه عصبی گازی رشدیابنده می‌باشد تعیین شدند.

### تعیین نواحی همگن

تشخیص مناطق همگن معمولاً در بین تمامی مراحل تحلیل فراوانی منطقه‌ای مهم‌ترین و سخت‌ترین گام و پیش‌نیاز فرضیه تحلیل فراوانی می‌باشد.

به دلیل متفاوت بودن جنس داده‌ها و واحدهای متفاوت آن‌ها لازم است قبل از وارد کردن آن‌ها به مدل‌های خوشبندی و همچنین مدل‌های مربوط به تعیین تعداد خوش بینه، داده‌ها نرمال شده و از نظر واحد یکسان شوند. به این منظور از رابطه سیگموید<sup>۱</sup> به شرح زیر استفاده شد.

$$Q_n = 0.05 + 0.95 \frac{Q_r - Q_{min}}{Q_{max} - Q_{min}} \quad (رابطه ۱)$$

که در آن،  $Q_n$  مقادیر نرمال شده،  $Q_r$  مقادیر اصلی و

### مدیریت آب و آبیاری

فاصله زمانی (سن) از آخرین دیدار یا تجدید یال بوده است که اگر از یک اندازه بیشتر شود همسایگی شکسته می‌شود. این رویکرد کمک می‌کند تا شبکه عصبی توپولوژی را یاد بگیرد.

الگوریتم NG را می‌توان در مراحل زیر خلاصه کرد: مرحله صفر- موقعیت تصادفی  $w_i$ ها در فضای داده‌ها ایجاد می‌شود.

مرحله ۱- یک ورودی به نام  $x$  از داده‌های مدنظر انتخاب می‌شود.

مرحله ۲- رتبه بندی  $\tau^i$ ، شامل محاسبه فاصله بین  $x$  و مراکز  $w_i$ ها و رتبه بندی  $k_i$  برای هر مرکز.

مرحله ۳- تطبیق یا یادگیری <sup>۱۳</sup>

$$w_i^{new} = w_i^{old} + \varepsilon e^{-\frac{k_i}{\lambda}}(x - w_i^{old}) \quad (رابطه ۴)$$

نکته مهم این است که در طول دوره آموزش با جلوترفتن الگوریتم باید از سرعت یادگیری کاسته شود، در غیر این صورت شبکه عصبی دچار تکرار شده و چرخه نادرستی ایجاد خواهد شد. بدین منظور باید مقدار  $\lambda$  و  $\varepsilon$  با پیش‌رفتن یادگیری کاهش یابد. بدین منظور ازتابع زیر استفاده خواهد شد.

$$G(t) = G_i \left( \frac{G_f}{G_i} \right)^{\frac{t}{t_{max}}} \quad \lambda_i > \lambda_f, \quad \varepsilon_i > \varepsilon_f, \quad T_i < T_f \quad (رابطه ۵)$$

که در آن اندیس  $i$  نشان‌دهنده مقدار پارامتر در ابتدای یادگیری و اندیس  $f$  نمایشگر مقدار پارامتر در انتهای فرایند یادگیری می‌باشد. به عنوان مثال اگر  $t=0$  باشد در نتیجه  $i$   $\lambda(t) = \lambda$  و چنان‌چه  $t = t_{max}$  باشد در نتیجه  $i$   $\lambda(t) = \lambda_f$ .

مرحله ۴- (ایجاد همسایگی) یالی بین دو رتبه اول از نظر نزدیکی ایجاد می‌شود و سن این یال برابر صفر در نظر گرفته می‌شود.

مرحله ۵- سن همه یال‌ها افزایش می‌باید  $(t_{i,j} \rightarrow t_{i,j} + 1)$

گام بعدی تأیید خوش است که در این مرحله همگنی <sup>۹</sup> و ناجوری <sup>۱۰</sup> ایستگاه‌های هر خوش با آماره‌های مناسب گشتاور خطی بررسی می‌شود.

### شبکه عصبی گازی

شبکه عصبی گازی یکی از انواع شبکه‌های عصبی رقابتی است و از شیوه آموزش غیرنظرارت شده استفاده می‌کند. از این‌رو، از این الگوریتم می‌توان برای خوشبندی هم‌چنین بخش‌بندی تصویر <sup>۱۱</sup> استفاده نمود.

قاعده یادگیری در شبکه عصبی گازی به شکل زیر است:

$$w_i^{new} = w_i^{old} + \alpha_i(x - w_i^{old}) \quad (رابطه ۶)$$

$$\alpha_i = \varepsilon e^{-\frac{k_i}{\lambda}} \quad (رابطه ۷)$$

که در آن  $w_i$  مولکول گاز ایجاد شده روی فضای داده می‌باشد. تعداد این مولکول‌ها در ابتدا یک مقدار فرض می‌شود و در انتها به‌منظور کارکرد منطقی تر و بهینه‌تر الگوریتم اصلاح می‌شوند. هم‌چنین این عناصر به صورت اتفاقی در دامنه داده‌های اصلی انتخاب می‌شوند.  $\alpha_i$  پارامتری است که نرخ یادگیری را مشخص می‌کند و وابسته به  $k_i$  و  $\lambda$  می‌باشد. به این صورت که اگر  $\lambda$  به سمت بینهایت میل کند یادگیری همه نورون‌ها با هم برابر و اگر به سمت صفر میل کند نزدیک‌ترین نورون شروع به یادگیری می‌کند. حالت‌های حدی  $\lambda$  هیچ‌کدام به تنهایی مناسب نمی‌باشد و عموماً حالتی بین آن‌ها انتخاب می‌شود.  $k_i$  نشان‌دهنده تعداد نورون برتر نسبت به نورون نام می‌باشد.  $\varepsilon$  نیز عددی ثابت است که نرخ یادگیری را کنترل می‌کند.

به‌منظور ایجاد همسایگی بین اولین و دومین نورون از نظر نزدیکی یک یال ایجاد می‌شود. برای هر نورون داریم  $c_{i,j} \in \{0.1\}$  که نشان‌دهنده وجود یا عدم وجود یال  $i$  همسایگی و هم‌چنین  $\{0.1, 2\}$  که نشان‌دهنده

مرحله ۳- نزدیکترین نورون  $S_1$  و نزدیکترین نورون بعد از آن  $S_2$  پیدا می‌شود.  
مرحله ۴- افزایش سن تمام لبه‌هایی که از  $S_1$  به همسایگان خود می‌رسند.  
مرحله ۵- خطای محلی  $s_1$  با استفاده از فاصله اقلیدسی بین دو بردار افزایش داده می‌شود:

$$\Delta E_{S_1} = \|w_{S_1} - x\|^2 \quad (\text{رابطه } 6)$$

مرحله ۶-  $S_1$  و همسایگی‌های توپولوژیک مستقیم آن به سمت  $x$  با نرخ یادگیری  $\epsilon_b$  و حرکت داده می‌شود به ترتیب از فاصله کل:

$$\Delta w_{S_1} = \epsilon_b(x - w_{S_1}) \quad (\text{رابطه } 7)$$

$$\Delta w_n = \epsilon_n(x - w_n) \quad (\text{رابطه } 8)$$

که در این روابط،  $n$  نشان‌دهنده همسایگان مستقیم  $S_1$  است.

مرحله ۷- اگر  $S_1$  و  $S_2$  با یک لبه متصل شوند، سن این لبه صفر تنظیم می‌شود. اگر چنین لبه‌ای وجود نداشته باشد، آن را باید ایجاد نمود.

مرحله ۸- لبه‌های با سن بزرگ‌تر از  $a_{max}$  حذف می‌شود. اگر این نتایج در نقاط بدون لبه ظاهر شوند، آن‌ها نیز حذف می‌شوند.

مرحله ۹- اگر تعداد بردارهای ورودی ارائه شده تاکنون یک عدد صحیح از یک پارامتر  $\lambda$  است، یک نورون جدید به صورت زیر وارد می‌شود:

- نورون  $q$  با بزرگ‌ترین متغیر خطا تعیین می‌شود.

- نورون  $f$  با بزرگ‌ترین متغیر خطا در میان همسایگان نورون  $q$  پیدا می‌شود.

- یک نورون جدید به نیمه‌راه بین  $q$  و  $f$  به عنوان  $W_r = 0.5(w_q + w_f)$  قرار داده می‌شود.
- ایجاد لبه‌های اتصال نورون  $r$  با نورون  $q$  و  $f$  و حذف لبه اصلی بین  $q$  و  $f$

مرحله ۶- فرض می‌شود  $k_i = 0$  و به ازای هر  $j$  که  $t_{i,j} > T$  باشد،  $c_{i,j} = 0$  در نظر گرفته می‌شود. در این مرحله نیز باید بدلیل ذکر شده در مرحله سه،  $T$  در طول دوره یادگیری افزایش یابد تا از میزان سختگیری کاسته شود یعنی اجازه داده می‌شود یال‌ها بیشتر دوام داشته باشند. مرحله ۷- در صورت برآورده نشدن شرایط خاتمه (به عنوان مثال، حداقل تعداد نورون‌ها و یا هر اندازه عملکرد)، از مرحله یک تکرار می‌شود، در غیر این صورت مراحل الگوریتم پایان می‌یابد.

### شبکه عصبی گازی رشدیابنده

GNG یک الگوریتم خوشبندی است که به صورت قدم به قدم کار می‌کند، یعنی تعداد نورون‌ها در طی فرایند آموزش بدون استفاده از دانش پیشین در مورد ساختار الگوهای ورودی، افزایش می‌یابد (Fink *et al.*, 2015; Angelopoulou *et al.*, 2015). برخلاف الگوریتم‌های خوشبندی کلاسیک، الگوریتم GNG دارای یک ساختار شبکه سازگار است که آن را برای یادگیری توپولوژی Linda (2009; Zaki & Yin, 2008) مجموعه داده‌های با ابعاد بزرگ مناسب می‌سازد (& Manic, 2008). ایده اصلی شبکه GNG این است که به طور پیوسته گره‌های جدید (نورون‌ها) را به یک شبکه ابتدا کوچک در یک ساختار در حال رشد اضافه کند. در GNG، نورون‌های شبکه برای تعیین آن‌هایی که دارای بیشترین شباهت به مجموعه داده ورودی هستند، رقابت می‌کنند (Moreli *et al.*, 2014). الگوریتم GNG را می‌توان در مراحل زیر خلاصه کرد:

- مرحله ۱- با دو نورون  $a$  و  $b$  در موقعیت‌های تصادفی  $w_a$  و  $w_b$  در فضای ورودی شروع می‌شود.
- مرحله ۲- یک بردار ورودی ( $x$ ) از مجموعه داده‌های مدنظر ارائه می‌شود.

در مرحله بعد برای محاسبه پراکنش نسبت گشتاورهای خطی ناحیه‌ای اقدام به شبیه‌سازی داده‌های منطقه‌ای معادل می‌شود. برای این منظور باید تابع توزیع مناسبی در نظر گرفته و با استفاده از آمار واقعی ناحیه‌ای، پارامترهای توزیع انتخابی در هر ناحیه تعیین شود. برای هر ناحیه شبیه‌سازی شده  $V_1$  محاسبه می‌شود. هم‌چنین از داده‌های شبیه‌سازی شده، میانگین  $\bar{v}_m$  و انحراف استاندارد  $\sigma_v$  تعیین و معیار غیر همگنی از طریق رابطه (۱۱) مشخص می‌شود.

$$H_i = \frac{(V_i - \mu_v)}{\sigma_v} \quad (رابطه ۱۱)$$

در پژوهشی Hosking & Wallis (1993) پیشنهاد کردند که یک ناحیه وقتی می‌تواند ناحیه همگن قابل قبول باشد که  $H_i$ ، کمتر از یک باشد و می‌تواند ناحیه نسبتاً غیرهمگن باشد اگر  $H_i$  بین یک و دو باشد و به عنوان ناحیه به طور مشخص غیرهمگن خواهد بود اگر  $H_i$  بزرگ‌تر از دو باشد. در عمل عنوان می‌شود که معیار  $H_1$  مناسب‌تر است.

علاوه بر آماره‌های گشتاورهای خطی که برای مقایسه مدل‌های خوشبندی به کار گرفته شد اختلاف میان منحنی‌های IDF منطقه‌ای حاصل از مدل‌های خوشبندی که براساس توابع توزیع منطقه‌ای بنا شده‌اند با منحنی‌های IDF ایستگاهی که بر مبنای توابع توزیع در تداوم‌های مختلف در هر ایستگاه می‌باشند، از سه رابطه، ضربیت تغییرات جذر میانگین مریع خطای<sup>۱۴</sup> ( $CV_{RMSE}$ )، میانگین درصد اختلاف<sup>۱۵</sup> ( $\Delta$ ) و انحراف نتایج<sup>۱۶</sup> ( $MBE$ ) استفاده شد. هر چقدر مقادیر  $CV_{RMSE}$  و  $\Delta$  کمتر باشند، نشان‌دهنده دقت بیش‌تر مدل به کار رفته در خوشبندی می‌باشد. هم‌چنین مقادیر منفی  $MBE$  نشان‌دهنده تخمین بیش‌تر و مقادیر مثبت نشان‌دهنده تخمین کم‌تر مقادیر منطقه‌ای نسبت به مقادیر ایستگاهی بارش‌ها می‌باشد.

۰ متغیرهای خطای  $q$  و  $f$  با ضرب آن‌ها در یک کسر (a)، کاهش داده می‌شوند. متغیر خطای  $r$  با مقدار جدیدی از متغیر خطای  $q$  تنظیم می‌شود.

مرحله ۱۰- تمام متغیرهای خطای با ضرب آن‌ها در کسر  $\beta$  کاهش داده می‌شود.

مرحله ۱۱- اگر معیار توقف (به عنوان مثال، حداقل تعداد نورون‌ها و یا هر اندازه عملکرد) هنوز انجام نشده است، به مرحله دو برگشت داده می‌شود.

به طور خلاصه، پارامتر سن در نظر گرفته شده در مرحله چهارم نشان می‌دهد که ارتباط بین نورون‌ها چقدر قوی است. در مرحله پنجم، خطای محلی عصبی برای شناسایی مناطقی که نورون‌ها به اندازه کافی برای بردارهای ورودی سازگار نیستند، استفاده می‌شود. سازگاری شبکه با فضای ورودی در مرحله ششم اتفاق می‌افتد. قراردادن لبه‌ها (مرحله هفتم) بین دو نزدیک‌ترین نورون برای الگوهای ورودی، بخشی از ساختار ساختمان توپولوژیک است. حذف لبه‌ها (مرحله هشتم) برای ازین‌بردن لبه‌های بین نورون‌هایی که دیگر فعال نیستند ضروری است. در مرحله نهم نورون جدید در مناطق فضای ورودی با استفاده از خطای انباشته (مرحله پنجم) وارد می‌شود. در نهایت، شبکه تا زمانی که شرایط پایان را به دست آورد ادامه می‌یابد (Fišer et al., 2013; Quintana-Pacheco et al., 2014).

## آزمون همگنی خوشبندی

برای محاسبه میزان ناهمگنی ابتدا  $V_1$  با استفاده از رابطه (۹) برای داده‌های مشاهداتی به دست می‌آید.

$$V_1 = \sum_{i=1}^N n_i (t^{(i)} - \bar{t})^2 / \sum_{i=1}^N n_i \quad (رابطه ۹)$$

$$\bar{t} = (\sum_{i=1}^N N_i t^{(i)}) / (\sum_{i=1}^N n_i) \quad (رابطه ۱۰)$$

که در آن  $n_i$  اندازه نمونه در ایستگاه  $i$ ،  $t^{(i)}$  گشتاور خطی نمونه (L-CV)،  $\bar{t}$  میانگین نقطه‌ای گشتاور نمونه (L-CV) می‌باشند.

## مدیریت آب و آبیاری

### نتایج و بحث تعداد خوش بهینه

با استفاده از داده‌های میانگین بارش سالانه، ارتفاع، حداقل برash ۲۴ ساعته، طول جغرافیایی و عرض جغرافیایی اقدام به تعیین تعداد خوش بهینه شد. بدین منظور از نرم‌افزار آورده شده است. در شاخص CS هرچقدر مقدار شاخص عدد کمتر و در شاخص‌های کالینسکی-هاراباسز و نیم‌رخ هرچه مقدار شاخص بیشتر باشد تعداد خوش‌های در نظر گرفته شده مناسب‌تر است. با توجه به نتیجه این سه روش تعداد خوش بهینه، دو خوش در نظر گرفته شد.

$$CV_{RMSE} = \frac{\sqrt{\frac{1}{N_d N_T} \sum_{d=1}^{N_d} \sum_{T=1}^{N_T} (x_{d,T} - z_{d,T})^2}}{\frac{1}{N_d N_T} \sum_{d=1}^{N_d} \sum_{T=1}^{N_T} x_{d,T}} \times 100 \quad (رابطه ۱۲)$$

$$\Delta = \frac{1}{N_d N_T} \sum_{d=1}^{N_d} \sum_{T=1}^{N_T} \frac{|x_{d,T} - z_{d,T}|}{x_{d,T}} \times 100 \quad (رابطه ۱۳)$$

$$MBE = \frac{\sum_{d=1}^{N_d} \sum_{T=1}^{N_T} (x_{d,T} - z_{d,T})}{N_d N_T} \quad (رابطه ۱۴)$$

در روابط بالا،  $x_{d,T}$  و  $z_{d,T}$  به ترتیب شدت حداقل بارندگی در تداوم  $d$ ام و دوره بازگشت  $T$ ام در ایستگاه هواشناسی مورد نظر و منطقه همگنی که آن ایستگاه در آن قرار گرفته می‌باشد. همچنین  $N_d$  و  $N_T$  به ترتیب، تعداد تداوم‌ها و دوره‌های بازگشت مورد استفاده است.

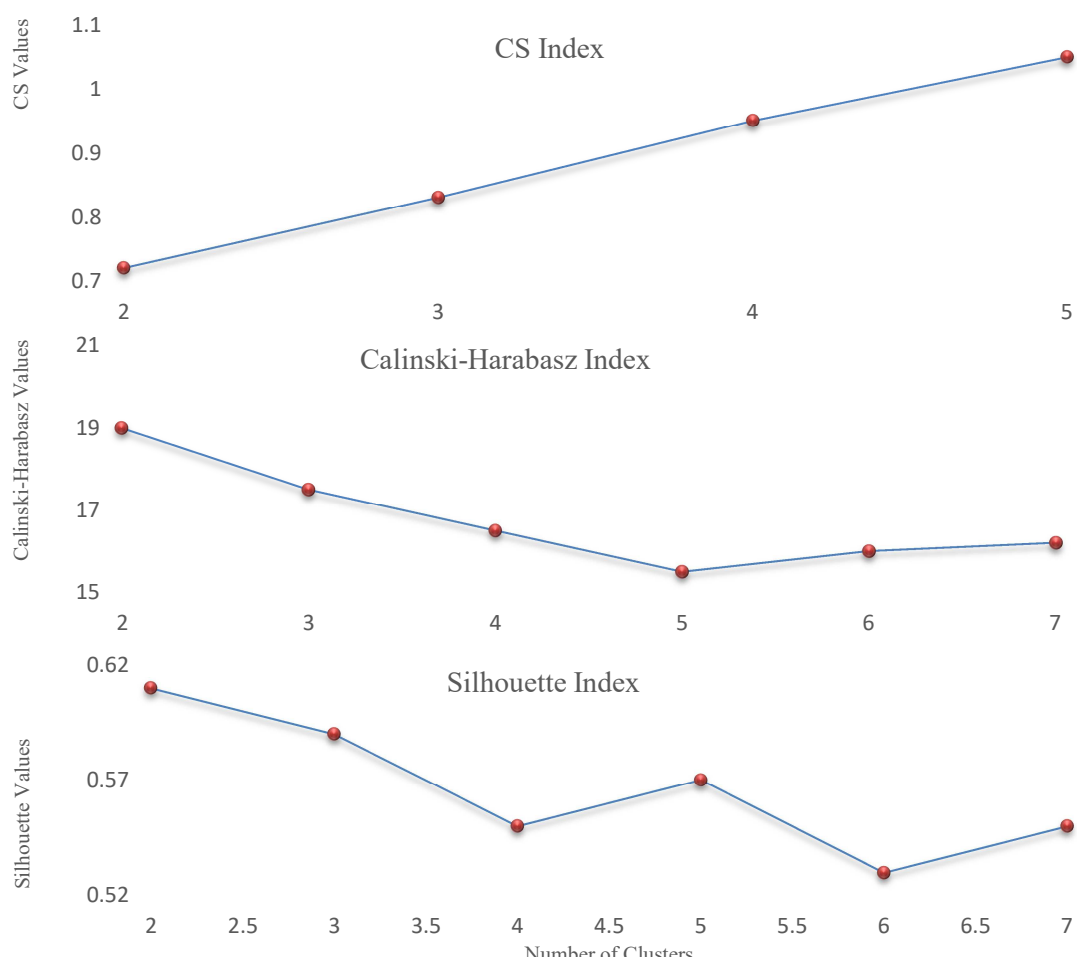


Figure 2. Calinsky-Harabasz values versus the number of clusters. Silhouette values versus the number of clusters CS values versus the number of clusters.

سی میانگین (FCM) در نرم افزار متلب و روش های کا-میانگین (K-Means) و وارد (Ward) در نرم افزار R (3.5.0) پیاده سازی شدند. در نتیجه تعلق هر ایستگاه به مناطق دوگانه بررسی و در شکل های (۳) و (۴) ارائه شده است.

### نقشه های استخراج شده از خوشه بندی به روش های مختلف

پس از تعیین تعداد مناطق بهینه روش های خوشه بندی شبکه عصبی گازی (NG)، شبکه عصبی گازی رشد یابنده (GNG)، شبکه عصبی خود سازمانده (SOM) و مدل فازی (GNG) است.

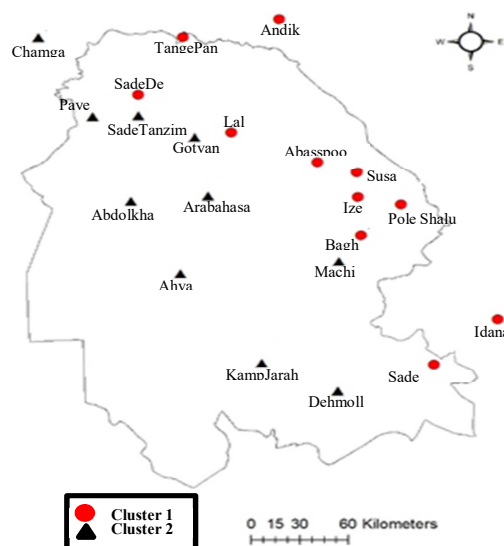


Figure 3. Location of stations in the cluster identified by NG

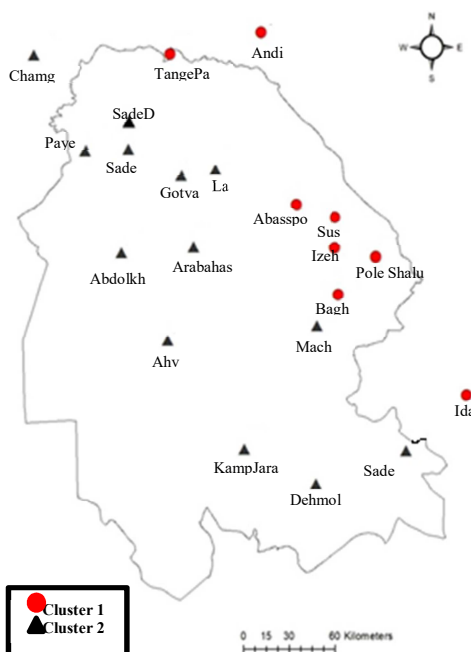


Figure 4. Location of stations in the cluster identified by GNG

می‌باشد، که نشان‌دهنده برتری این روش نسبت به دیگر روش‌ها می‌باشد. هم‌چنین منفی بودن شاخص MBE برای این مدل نمایانگر این موضوع است که مقادیر عددی منحنی‌های IDF منطقه‌ای حاصل از این روش نسبت به مقادیر ایستگاهی تا حدودی دارای مقادیر بزرگ‌تری هستند. هم‌چنین با درنظرگرفتن هر سه شاخص می‌توان شبکه عصبی گازی رشدیابنده را به عنوان دومین مدل مناسب در نظر گرفت. با درنظرگرفتن مقادیر خطای بین IDF منطقه‌ای با IDF ایستگاهی که در جدول (۳) آورده شده است، به این نتیجه می‌رسیم که در ایستگاه‌های دارای طول آماری کوتاه میزان خطا افزایش پیدا کرده که در صورت حذف این ایستگاه‌ها می‌توان عملکرد بهتری را از مدل‌های خوشبندی استفاده شده انتظار داشت. مقایسه بین دو نوع منحنی منطقه‌ای و ایستگاهی در چهار ایستگاه مختلف در شکل (۵) نمایش داده شده است.

**نتایج بررسی همگنی خوشبها و ناجوری ایستگاه‌ها**  
به منظور بررسی همگنی منطقه‌ای و ناجوری ایستگاه‌های موجود در هر منطقه به ترتیب از آماره‌های  $H_i$  و  $D_i$  که آزمون‌هایی براساس گشتاورهای خطی می‌باشند استفاده شد. این مقادیر برای حداقل شدت بارش‌های سالانه در تداوم‌های مختلف و هم‌چنین مدل‌های متنوع به کاررفته برای خوشبندی تعیین شدند که در جدول (۱) ارائه شده است.

**نتایج بررسی بهترین مدل خوشبندی**  
به منظور تعیین بهترین مدل خوشبندی، مقادیر عددی منحنی‌های منطقه‌ای با مقادیر نظیر آن‌ها در منحنی‌های ایستگاهی مقایسه شدند و نتایج در جدول (۲) ارائه شده است. همان‌طورکه از جدول مشخص است با توجه به مقادیر خطاهای محاسبه شده، مدل خوشبندی شبکه عصبی گازی کمترین میزان خطا را در هر دو شاخص دارا

Table 1. Results of heterogeneity and discordancy measures for 24hr rainfall duration

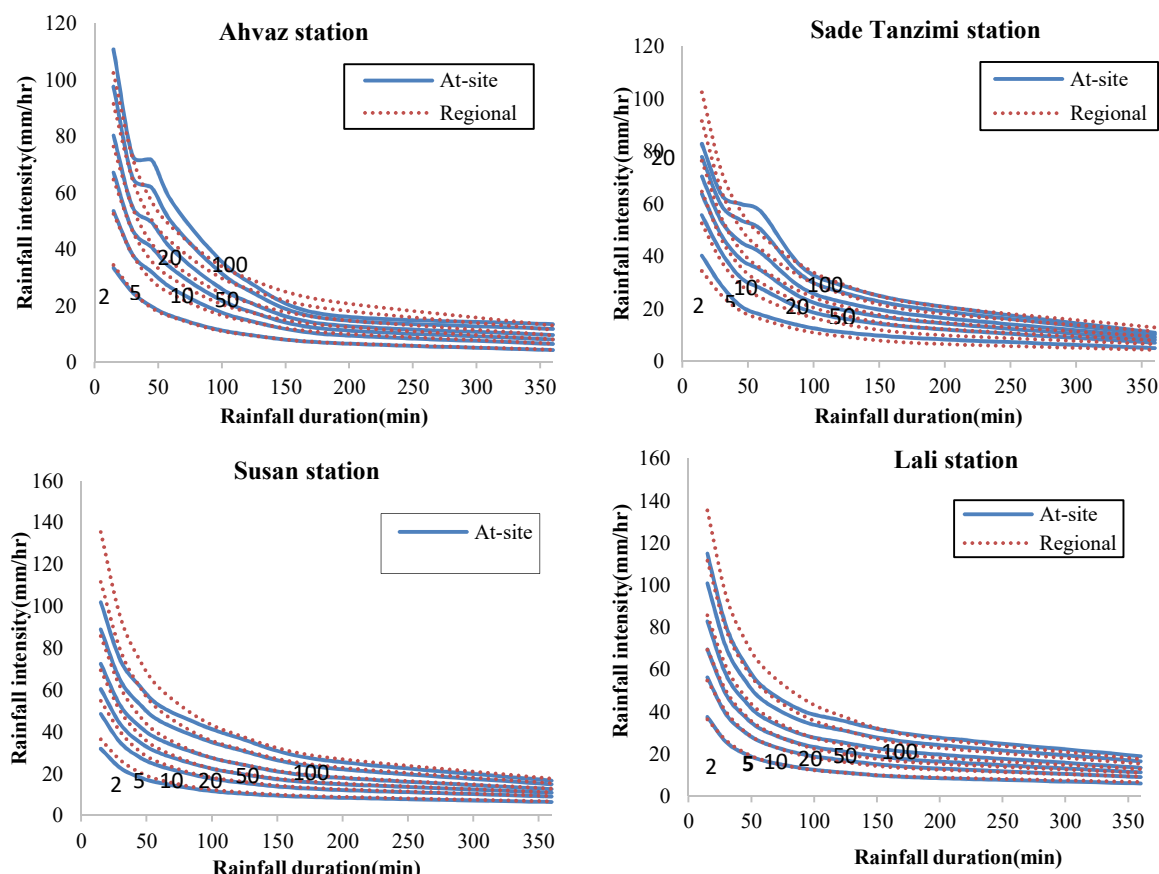
Cluster	Clustering models	Number of stations	Discordant stations	Heterogeneity measure			Heterogeneity situation
				$H_1$	$H_2$	$H_3$	
1	NG	11	-	-1.12	-1.13	-1.04	Definitely homogeneous
	GNG	8	-	-0.91	-1.91	-1.63	Definitely homogeneous
	SOM	9	-	-1.11	-2.01	-1.81	Definitely homogeneous
	FCM	9	-	-0.64	-1.79	-1.59	Definitely homogeneous
	Kmeans	9	-	-1.11	-2.01	-1.81	Definitely homogeneous
	Ward	9	-	-1.11	-2.01	-1.81	Definitely homogeneous
2	NG	10	-	0.17	-1.28	-2.33	Definitely homogeneous
	GNG	13	-	0.23	-0.12	-1.3	Definitely homogeneous
	SOM	12	-	0.39	-0.04	-1.21	Definitely homogeneous
	FCM	12	-	0.12	-0.01	-1.09	Definitely homogeneous
	Kmeans	12	-	0.39	-0.04	-1.21	Definitely homogeneous
	Ward	12	-	0.39	-0.04	-1.21	Definitely homogeneous

Table 2. Average values of goodness-of-fit indices of the difference between IDF curves based on regional and at-site probability distributions for used clustering models

Model	Values of goodness-of-fit indices		
	$CV_{RMSE}$	$\Delta$	MBE
NG	24.39	15.56	-0.04
GNG	24.41	16.03	0.23
FCM	25.19	16.35	0.32
SOM, K-Means, Ward	24.67	15.91	0.31

**Table 3. Values for goodness-of-fit indices of the difference between IDF curves based on regional and at-site probability distributions at 21 rainfall stations for NG clustering model**

Stations	Values of goodness-of-fit indices		
	$CV_{RMSE}$	MBE	$\Delta$
1	29.46	-2.11	10.75
2	42.46	-6.61	24.84
3	26.38	-2.89	11.67
4	14.68	-1.42	10.04
5	15.61	-1.77	9.14
6	23.07	-2.05	8.51
7	17.49	0.28	14.29
8	23.38	-0.11	10.32
9	13.59	1.43	5.91
10	21.3	6.85	28.14
11	18.67	1.58	8.33
12	16.27	0.80	13.06
13	23.36	-1.38	20.99
14	46.52	9.48	28.56
15	27.05	-2.34	14.41
16	26.02	-3.71	18.87
17	29.19	0.27	19.62
18	15.55	2.13	22.00
19	35.81	-3.70	21.42
20	30.17	5.12	14.33
21	16.11	-0.69	11.72
Mean	24.39	-0.04	15.56



**Figure 5. IDF curves for four rainfall stations in Khuzestan province  
(Note: The values on each curve is the return period T for the curve)**

IDF‌های منطقه‌ای با استفاده از روش گشتاورهای خطی اقدام شد. منحنی IDF منطقه‌ای به دست آمده برای هر ناحیه با منحنی‌های IDF ایستگاهی به دست آمده در همان مناطق موردمقایسه قرار گرفت. نتایج نشان داد که در تمام ایستگاه‌ها، منحنی‌های IDF منطقه‌ای و ایستگاهی تطابق بالای داشته و روند یکسانی را به نمایش می‌گذارند. این پژوهش برای اولین بار کارایی شبکه‌های عصبی گازی را در مبحث منطقه‌ای نمودن منحنی‌های IDF موردارزیابی قرار داده است. در بین IDF‌های منطقه‌ای استخراج شده، منحنی‌های حاصل از مناطق استخراج شده از مدل‌های شبکه عصبی گازی و شبکه عصبی گازی رشدیابنده، دارای بیشترین دقت و بیشترین تطابق با منحنی‌های ایستگاهی بودند که نشان‌دهنده کارایی این مدل‌ها در مبحث تحلیل فراوانی منطقه‌ای می‌باشد. از این‌رو، کیفیت عملکرد شبکه‌های عصبی گازی می‌تواند موجب بهبود مسائل و مشکلات مختلف در مباحث مربوط به آب و مدیریت و برنامه‌ریزی منابع آب شود.

## پی‌نوشت‌ها

1. Generalized Extreme Value Distribution
2. Neural Gas Network
3. Growing Neural Gas Network
4. Ward
5. K-Means
6. Self-Organizing Map (SOM)
7. Fuzzy C-Means
8. Sigmoid
9. Homogeneity
10. Discordancy
11. Image Segmentation
2. Aging
3. Adaptation
4. Coefficient of Variation of Root Mean Square Error
5. Mean Percentage Difference
6. Mean Bias Error

## تعارض منافع

هیچ‌گونه تعارض منافع توسط نویسنده‌گان وجود ندارد.

## نتیجه‌گیری

در این پژوهش دو مدل جدید شبکه‌های عصبی گازی و گازی رشدیابنده به منظور منطقه‌ای نمودن منحنی‌های IDF ارائه شد. به این منظور با درنظر گرفتن مشخصه‌های طول جغرافیایی، عرض جغرافیایی، میانگین بارندگی سالانه، ارتفاع از سطح دریا و حداقل بارش ۲۴ ساعته سالانه مربوط به هر ایستگاه و با استفاده از سه شاخص چو و سو (CS)، نیمرخ (Silhouette) و کالینسکی- هاراباسز (CH) مشخص شد که استان خوزستان در بهینه‌ترین حالت دارای دو منطقه مجزا و احتمالاً همگن می‌باشد. سپس با استفاده از مدل‌های مختلف خوشبندی نسبت به منطقه‌ای نمودن ایستگاه‌های موجود اقدام شد. خوشبندی به دلیل حساسیت و تأثیرگذاری فراوان در نتیجه پایانی، یکی از مهم‌ترین و اصلی‌ترین مراحل انجام این پژوهش بود. از این‌رو، با استفاده از شش مدل متفاوت عملیات خوشبندی انجام شد. روش‌های خوشبندی، وارد (Ward)، کا میانگین (K-Means)، فازی سی میانگین (FCM) و شبکه عصبی خودسازمانده (SOM) از جمله روش‌های رایجی هستند که به طور گسترده استفاده می‌شوند. علاوه بر چهار روش ذکر شده، از دو مدل جدید شبکه عصبی گازی (NG) و شبکه عصبی گازی رشدیابنده (GNG) به منظور خوشبندی استفاده شد. به منظور بررسی همگنی دو منطقه ایجاد شده و همچنین ناجوربودن یا نبودن ایستگاه‌های موجود در هر منطقه، در هر شش مدل در تداوم‌های یازده‌گانه، از آزمون‌های همگنی ناحیه‌ای و آزمون ناجوری که براساس گشتاورهای خطی می‌باشند استفاده شد. در اکثر مدل‌ها و تداوم‌های مختلف، مناطق ایجاد شده در اثر خوشبندی دارای همگنی مناسبی بودند. پس از مشخص شدن موقعیت هر کدام از ایستگاه‌ها در مناطق دوگانه و همگن تشخیص داده شدن هر دو ناحیه، نسبت به تعیین تابع توزیع منطقه‌ای و پس از آن استخراج

## مدیریت آب و آسیاری

## منابع

1. Abdi, A., Hassanzadeh, Y., & Ouarda, T. B. (2017). Regional frequency analysis using Growing Neural Gas network. *Journal of Hydrology*, 550, 92-102.
2. Adib, A., Kashani, A., & Ashrafi, S. M. (2021). Merge L-Moment Method, Regional Frequency Analysis and SDI for Monitoring and Zoning Map of Short-Term and Long-Term Hydrologic Droughts in the Khuzestan Province of Iran. *Iranian Journal of Science and Technology, Transactions of Civil Engineering*, 45(4), 2681-2694.
3. Aleman, B. F., & Chaoka, R. T. (2016). Regionalization of Rainfall Intensity-Duration-Frequency (IDF) Curves in Botswana. *Journal of Water Resource and Protection*, 8(12), 1128.
4. Angelopoulou, A., Psarrou, A., Garcia-Rodriguez, J., Orts-Escalano, S., Azorin-Lopez, J., & Revett, K. (2015). 3D reconstruction of medical images from slices automatically landmarked with growing neural models. *Neurocomputing*, 150, 16-25.
5. Ariff, N. M., Jemain, A. A., & Bakar, M. A. A. (2016). Regionalization of IDF curves with L-moments for storm events. *International Journal of Mathematical and Computational Sciences*, 10(5), 217-223.
6. Caliński, T., & Harabasz, J. (1974). A dendrite method for cluster analysis. *Communications in Statistics-theory and Methods*, 3(1), 1-27.
7. Carlevarino, A., Martinotti, R., Metta, G., & Sandini, G. (2000, July). An incremental growing neural network and its application to robot control. In *Proceedings of the IEEE-INNS-ENNS International Joint Conference on Neural Networks. IJCNN 2000. Neural Computing: New Challenges and Perspectives for the New Millennium*, 5, 323-328). IEEE.
8. Chaubey, I., Haan, C. T., Grunwald, S., & Salisbury, J. M. (1999). Uncertainty in the model parameters due to spatial variability of rainfall. *Journal of Hydrology*, 220(1-2), 48-61.
9. Chou, C. H., Su, M. C., & Lai, E. (2004). A new cluster validity measure and its application to image compression. *Pattern Analysis and Applications*, 7(2), 205-220.
10. Cselényi, Z. (2005). Mapping the dimensionality, density and topology of data: The growing adaptive neural gas. *computer methods and programs in biomedicine*, 78(2), 141-156.
11. de Oliveira Martins, L., Silva, A. C., De Paiva, A. C., & Gattass, M. (2009). Detection of breast masses in mammogram images using growing neural gas algorithm and Ripley's K function. *Journal of Signal Processing Systems*, 55(1), 77-90.
12. Decker, R. (2005). Market basket analysis by means of a growing neural network. *The International Review of Retail, Distribution and Consumer Research*, 15(2), 151-169.
13. Durrans, S. R., & Kirby, J. T. (2004). Regionalization of extreme precipitation estimates for the Alabama rainfall atlas. *Journal of Hydrology*, 295(1-4), 101-107.
14. Ferrer, G. J. (2014). Creating Visual Reactive Robot Behaviors Using Growing Neural Gas. In *MAICS* (pp. 39-44).
15. Fink, O., Zio, E., & Weidmann, U. (2015). Novelty detection by multivariate kernel density estimation and growing neural gas algorithm. *Mechanical Systems and Signal Processing*, 50, 427-436.
16. Fišer, D., Faigl, J., & Kulich, M. (2013). Growing neural gas efficiently. *Neurocomputing*, 104, 72-82.
17. Fritzke, B. (1995). A growing neural gas network learns topologies. *Advances in neural information processing systems*, 7, 625-632.
18. Ghadami, M., Raziei, T., Amini, M., & Modarres, R. (2020). Regionalization of drought severity-duration index across Iran. *Natural Hazards*, 103(3), 2813-2827.
19. Goovaerts, P. (1999). Using elevation to aid the geostatistical mapping of rainfall erosivity. *Catena*, 34(3-4), 227-242.
20. Hosking, J.R.M., & Wallis, J.R. (1993). Some statistics useful in regional frequency analysis. *Water resources research*, 29(2), 271-281.
21. Lee, S. H., & Maeng, S. J. (2003). Frequency analysis of extreme rainfall using L-moment. *Irrigation and Drainage: The journal of the International Commission on Irrigation and Drainage*, 52(3), 219-230.
22. Linda, O., & Manic, M. (2009, June). GNG-SVM framework-classifying large datasets with Support Vector Machines using Growing Neural Gas. In *2009 International Joint Conference on Neural Networks*. (pp. 1820-1826). IEEE.
23. Lisboa, P. J., Edisbury, B., & Vellido, A. (2000). *Business applications of neural networks: the state-of-the-art of real-world applications* (Vol. 13). World scientific.
24. Martinetz, T., & Schulten, K. (1991). A "neural-gas" network learns topologies.
25. Masselot, P., Chebana, F., & Ouarda, T. B. (2017). Fast and direct nonparametric procedures in the L-moment homogeneity test. *Stochastic Environmental Research and Risk Assessment*, 31(2), 509-522.

26. Modarres, R. (2010). Regional dry spells frequency analysis by L-moment and multivariate analysis. *Water resources management*, 24(10), 2365-2380.
27. Moreli, V., Cazorla, M., Orts-Escolano, S., & Garcia-Rodriguez, J. (2014, July). 3d maps representation using gng. In 2014 International Joint Conference on Neural Networks (IJCNN) (pp. 1482-1487). IEEE.
28. Quintana-Pacheco, Y., Ruiz-Fernández, D., & Magrans-Rico, A. (2014). Growing Neural Gas approach for obtaining homogeneous maps by restricting the insertion of new nodes. *Neural networks*, 54, 95-102.
29. Rousseeuw, P. J. (1987). Silhouettes: a graphical aid to the interpretation and validation of cluster analysis. *Journal of computational and applied mathematics*, 20, 53-65.
30. Soltani, S., Helfi, R., Almasi, P., & Modarres, R. (2017). Regionalization of rainfall intensity-duration-frequency using a simple scaling model. *Water Resources Management*, 31(13), 4253-4273.
31. Zaki, S. M., & Yin, H. (2008). A semi-supervised learning algorithm for growing neural gas in face recognition. *Journal of Mathematical Modelling and Algorithms*, 7(4), 425-435.